

اثر لایه‌ای شدن حرارتی بر آهستگی انتقال جرم سیال در کانال عمودی گرم

صمد خاکشورنیا، ابوالقاسم زارع شحنه

مرکز تحقیقات هسته‌ای سازمان انرژی اتمی ایران

چکیده

رآکتور تحقیقاتی کم قدرتی با صفحات سوخت عمودی درون یک مخزن حاوی سیال خنک کننده مورد نظر است. در حالتی که نیروی محركه پصب وجود ندارد، سیال به سبب تغیر چگالی خود در کانال سوخت به طور طبیعی جابجا می‌شود و گردش طبیعی^۱ ایجاد می‌گردد. به کمک معادلات بقا و با استفاده از چند پیش‌فرض می‌توان انتقال جرم سیال را برسی کرد.

چنانچه بدنه مخزن دارای پوشش عایق حرارتی باشد با توجه به محدود بودن ابعاد آن، می‌توان انتظار داشت که با گذشت زمان، به علت ظهور پدیده لایه‌ای شدن حرارتی^۲ در سیال، انتقال جرم ناشی از گردش طبیعی کاهش یابد. نتایج حاصل از بررسی این اثر نشان می‌دهند که در مخزنی که به طور خطی لایه‌ای شده است، انتقال جرم سیال بسته به پارامتر لایه‌ای شدن تا حد ۴۱ درصد به طور غیر خطی کاهش می‌یابد.

فهرست نمادها

نماد	کمیت	یکای	نمای
A	سطح مقطع عبور سیال	m^2	
c_p	ظرفیت گرمایی ویژه	J/kg.K.	
D _c	هم ارز قطر کانال	m	
f	ضریب اصطکاک دیواره کانال	--	
g	شتاب گرانشی	m/s^2	
L	طول کانال	m	
L _{ch}	طول قسمت خروجی کانال	m	
L _k	طول کانال در شاخه دلخواه	m	
\dot{m}	آهنجک انتقال جرم سیال	kg/s	
Re	عدد رینولدز	-	
Q	توان رآکتور	W	
q''	شار حرارتی	W/m^2	
s	عرض کانال	m	
t	زمان	s	
$T_{\infty,ave}$	دماهی متوسط سیال خنک کننده داخل مخزن	$^{\circ}C$	
$T_{\infty,0}$	دماهی اولیه سیال خنک کننده داخل مخزن	$^{\circ}C$	

$$T_{\infty}(z) = T_{\infty,0} + \delta z \quad 0 \leq z \leq L + L_{ch} \quad (1)$$

یعنی دمای سیال درون مخزن در راستای عمودی z با گرادیان δ (افزایش دمای مخزن در واحد طول) افزایش می‌یابد.
معادله حرکت برای یک مدار بسته فرضی جریان سیال به صورت زیر است [۴]:

$$\sum L_k \frac{\partial G_k}{\partial t} = \Delta p_{pump} - \Delta P_f + \Delta P_B \quad (2)$$

معادله (۲) برای سیستم‌های جریان سیال با سازوکار گردش طبیعی (بدون پمپ خارجی) و در حالت پایدار به صورت (۳) ساده می‌شود:

$$\Delta P_f = \Delta P_B \quad (3)$$

افت فشار ناشی از اصطکاک سیال در طول صفحات سوت و در طول خروجی متصل به آن عبارت است از:

$$\Delta P_f = f \frac{L + L_{ch}}{D_e} \rho_c \frac{V^2}{2} = f \frac{\dot{m}^2 (L + L_{ch})}{2 D_e \rho_c A^2} \quad (4)$$

f ضریب اصطکاک دیواره کانال است که برای جریان سیال با جابجاگی طبیعی به صورت زیر برآورد می‌شود [۴]:

$$f = 0.184 Re^{-0.2} = 0.184 \left[\frac{\dot{m} D_e}{A_u} \right]^{-0.2} \quad (5)$$

اافت فشار ناشی از اصطکاک برابر خواهد بود با:

$$\Delta P_f = 0.184 \left[\frac{D_e}{A_u} \right]^{-0.2} \left[\frac{L + L_{ch}}{2 D_e A^2} \right] \left[\frac{1}{\rho_c} \right]^{\frac{1}{2}} \dot{m}^{1.8} \quad (6)$$

از طرف دیگر فشار ناشی از شناوری برابر است با:

$$\Delta P_B = (\rho - \rho_c) g (L + L_{ch}) \quad (7)$$

و چگالی متوسط سیال در کانال و خروجی آن بنا به تعریف به صورت زیر است:

۱- مقدمه

گردش طبیعی سیال در طبیعت مصادیق فراوان دارد. استفاده از جریان سیال با هم‌رفتی طبیعی در رآکتورهای هسته‌ای و بررسی آن نیز مورد توجه می‌باشد و نقش مهم آن در سردکردن دراز مدت رآکتورهای هسته‌ای با آب سبک حائز اهمیت است [۲۱ و ۲۲].

صفحات سوت در رآکتور استخردار تهران، کانالهای عمودی را تشکیل می‌دهند که سیال خنک کننده (آب) در ضمن چرخش خود در آنها گرم می‌شود و پس از دادن گرمای خود به محیط، به دمای اولیه می‌رسد و این چرخش مرتب‌آدامه می‌یابد. در این مقاله چگونگی انتقال حرارت به وسیله سیال به طریق جابجاگی طبیعی (هم‌رفتی) در این کانالها، درون مخزن منفرد و بدون ساز و کار ویژه‌ای برای خنک کردن آن، مورد مطالعه قرار گرفته است، بدین ترتیب که ابتدا با استفاده از یک مدل ساده مبتنی بر قوانین بقا، میزان انتقال جرم ناشی از گردش طبیعی سیال به عنوان تابعی از پارامتر لایه‌ای شدن و همچنین طول قسمت غیر فعال موجود در انتهای بالایی صفحات سوت (بدون وجود ماده شکافت‌پذیر) که به عنوان طول خروجی متصل به کانال (مشابه ارتفاع دودکش) عمل می‌نماید محاسبه شده، سپس با استفاده از داده‌های رآکتور تهران اثر کمی و کیفی لایه‌ای شدن و نقش طول غیر فعال سوت در گردش طبیعی سیال نشان داده شده است.

۲- محاسبه آهنگ انتقال جرم سیال در کانال عمودی گرم با در نظر گرفتن پدیده لایه‌ای شدن سیال در اثر حرارت درون مخزن منفرد با ابعاد محدود

در شرایطی که مخزن منفرد و دارای ابعاد محدودی باشد، سیال گرم در راستای افقی درون سیال سرد مخزن حرکت می‌کند و در انتهای فوقانی مخزن در لایه مرزی حرارتی تخلیه می‌شود. لایه‌های گرم در دراز مدت بر روی لایه‌های سرد سیال قرار می‌گیرند و یک مخزن لایه‌ای حرارتی رابه وجود می‌آورند [۳]. در این حالت، انتظار می‌رود که با افزوده شدن اثر لایه‌ای در سیال داخل مخزن، آهنگ انتقال حرارت به طریق هم‌رفتی کاهش یابد، زیرا در این شرایط اختلاف دمای مؤثر بین صفحه سوت و سیال کم می‌شود. اینک، فرض می‌کنیم که لایه‌ای شدن درون مخزن به صورت خطی انجام پذیرد. بنابراین:

ρ_c و ρ_{out} به ترتیب برابر خواهند بود با:

$$\rho_c = \frac{\rho L + \rho_{out} L_{ch}}{L + L_{ch}} \quad (8)$$

$$\rho_{out} = \rho [1 + \beta (T_{\infty, ave} - T_{\infty, 0} - \frac{Q}{\dot{m} c_p})] \quad (14)$$

$$\begin{aligned} \rho &= \frac{1}{L} \int_0^L \rho(z) dz = \rho [1 + \beta (T_{\infty, ave} - T_{\infty, 0}) \\ &\quad - \frac{\beta}{2} \frac{Q}{\dot{m} c_p}] \end{aligned} \quad (15)$$

بنابراین چگالی متوسط سیال در کanal جریان و خروجی کanal با توجه به رابطه (8) برابر است با:

$$\begin{aligned} \rho_c &= \rho [1 + \beta (T_{\infty, ave} - T_{\infty, 0}) \\ &\quad - \frac{\beta}{2} \frac{Q}{\dot{m} c_p} \frac{L + 2L_{ch}}{L + L_{ch}}] \end{aligned} \quad (16)$$

با تلفیق دو معادله (7) و (16) فشار ناشی از شناوری برابر خواهد بود با:

$$\begin{aligned} \Delta P_\beta &= \rho [\frac{\beta}{2} \frac{Q}{\dot{m} c_p} (L + 2L_{ch}) \\ &\quad - \beta (T_{\infty} - T_{\infty, 0}) (L + L_{ch})] g \end{aligned} \quad (17)$$

با معادل قراردادن (17) با (6) با توجه به معادله (3) خواهیم داشت:

$$\begin{aligned} \dot{m}^{1.8} &= 5.44 \rho^2 \beta \left[\frac{Q}{2 \dot{m} c_p} \right] (L + 2L_{ch}) - \\ &\quad (T_{\infty, ave} - T_{\infty, 0})(L + L_{ch}) \left[\frac{D_e}{A_u} \right]^{+0.2} \left[\frac{2D_e A^2}{L + L_{ch}} \right] \\ &\quad [1 - \frac{\beta}{2} \frac{Q}{\dot{m} c_p} \frac{L + 2L_{ch}}{L + L_{ch}} + \beta (T_{\infty, ave} - T_{\infty, 0})] g \end{aligned} \quad (18)$$

برای محاسبه $\dot{m}^{1.8}$ با توجه به رابطه (19) می‌توان معادله (18) را بر حسب q'' (شار حرارتی تولید شده در کanal) نیز نوشت:

$$Q = q'' (2WL) \quad (19)$$

3- Bossinesq

در این رابطه ρ_{out} چگالی سیال در خروجی کanal و ρ_c متوسط در کanal جریان است.

برای سهولت تحلیل فرض می‌کنیم که شار حرارت تولید شده در صفحات سوخت یکنواخت باشد. بنابراین، می‌توان نشان داد که دمای سیال در کanal به طور خطی افزایش می‌یابد:

$$T(z) - T_{\infty, 0} = \Delta T_{rise} \frac{z}{L} \quad 0 \leq z \leq L \quad (9)$$

$$T(z) - T_{\infty, 0} = \Delta T_{rise} \quad L \leq z \leq L + L_{ch} \quad (10)$$

چنانچه تغییرات چگالی سیال در طول کanal بر حسب دما از تقریب بوسینک^۲ پیروی نماید [۳ و ۸] خواهیم داشت:

$$\rho(z) = \rho \left[1 - \beta (T(z) - T_{\infty, ave}) \right] \quad (11)$$

از سوی دیگر داشتیم:

$$T_\infty(z) = T_{\infty, 0} + \delta \cdot z \quad 0 \leq z \leq L + L_{ch} \quad (12)$$

بنابراین، دمای متوسط سیال در داخل مخزن برابر است با:

$$\begin{aligned} T_{\infty, ave} &= \frac{1}{L + L_{ch}} \int_0^{L + L_{ch}} T_\infty(z) dz = \frac{1}{L + L_{ch}} \\ &\quad \int_0^{L + L_{ch}} (T_{\infty, 0} + \delta \cdot z) dz = T_{\infty, 0} + \frac{1}{2} \delta (L + L_{ch}) \end{aligned} \quad (12)$$

با جایگزین کردن (9) در (11) خواهیم داشت:

$$\rho(z) = \rho \left[1 + \beta (T_{\infty, ave} - T_{\infty, 0} - \frac{Q}{\dot{m} c_p} \frac{z}{L}) \right] \quad (13)$$

$$\dot{m}^{1.8} = 5.44 \rho^2 \beta g$$

۶- توزیع شار حرارتی تولید شده در صفحات سوت به صورت یکنواخت فرض شده است.

خطای وارد در محاسبه \dot{m} ، در مقایسه بین مدلی با توزیع شار واقعی و مدل حاضر، که با توزیع شار یکنواخت است، کوچک و از مرتبه ۵٪ می‌باشد [۵].

۳- نتیجه‌گیری و بحث

مطالعاتی که در باره رآکتور تحقیقاتی تهران انجام می‌گرد بر مبنای داده‌های مربوط به آن می‌باشد، این داده‌ها عبارتند از: طول خروجی ستون "L_{ch}" که تاثیر قابل ملاحظه‌ای بر جریان سیال با جابجایی طبیعی دارد، پارامترهای گرمابی (ترموهیدرولیکی) شامل m ، q'' و λ و مشخصه‌های گرما-فیزیکی سیال در ۲۰°C و ابعاد کanal، که مقادیر ثابتی به شرح زیر دارند [۶]:

$$A = 1/62 \times 10^{-4} \quad m^2$$

$$D_e = 5/17 \times 10^{-7} \quad m$$

$$W = 0/06 \quad m$$

$$L = 0/615 \quad m$$

$$s = 0/0027 \quad m$$

$$\rho = 1000 \quad kg/m^3$$

$$\beta = 0/18 \times 10^{-3} \quad K^{-1}$$

$$c_p = 4187 \quad j/kg \cdot K$$

$$\mu = 9/8 \times 10^{-4} \quad kg \cdot m/s$$

پارامترهای متغیر نیز وقتی که مقدار مشخصی به آنها داده شده است عبارتند از:

$$L_{ch} = 0/0615 \quad m$$

$$q'' = 1694 \quad W/m^2$$

این شار حرارتی بر مبنای توان ۵۰ کیلووات وجود ۴۰۰ تیغه سوت بدست آمده است. در شرایطی که ابعاد مخزن محدود است و مبدل حرارتی هم برای انتقال حرارت از سیال به بیرون وجود ندارد، حرارت در محیط خود سیال انتقال می‌یابد و این محیط به تدریج به صورت لایه‌هایی با دمایهای متفاوت در می‌آید به طوری که در لایه‌های بالایی، درجه حرارت بیشتر و در لایه‌های پائینی

$$\left[1 - \beta \frac{q''WL}{\dot{m} c_p} \left(\frac{L + 2L_{ch}}{L + L_{ch}} \right) + \frac{1}{2} \beta \delta (L + L_{ch}) \right] \\ \left[\frac{De^{1.2} A^{1.8}}{\mu^{0.2}} \right] \left[\frac{2q''WL}{\dot{m} c_p} \left(\frac{L + 2L_{ch}}{L + L_{ch}} \right) - \delta (L + L_{ch}) \right] \quad (۲۰)$$

پارامتر بدون بعد λ را می‌توان به عنوان پارامتر لایه‌ای شدن، به صورت زیر تعریف کرد:

$$\lambda = \frac{\delta(L + L_{ch})}{Q/m \cdot c_p} \quad 0 \leq \lambda \leq 1 \quad (۲۱)$$

$$\lambda = \frac{\delta \dot{m} c_p (L + L_{ch})}{2q''WL} \quad (۲۲)$$

با استفاده از این تعریف، معادله انتقال جرم به صورت نهایی زیر بدست می‌آید:

$$\dot{m}^{1.8} = 10.88g \frac{\rho^2 \beta q'' WL}{\dot{m} c_p} \\ \left[1 - \frac{\beta q'' WL}{\dot{m} c_p} \left(\frac{L + 2L_{ch}}{L + L_{ch}} - \lambda \right) \right] \left[\frac{De^{1.2} A^{1.8}}{\mu^{0.2}} \right] \quad (۲۳)$$

برای بدست آوردن این معادله از مفروضات زیر استفاده شده است:
۱- افزایش دمای سیال درون مخزن، ناشی از لایه‌ای شدن آن، خطی است.

۲- از اثر دنباله ستون (plume) در بالای کanal، چشم پوشی شده است

۳- سرعت سیال در خارج از کanal (یعنی در داخل مخزن) ناچیز گرفته شده است

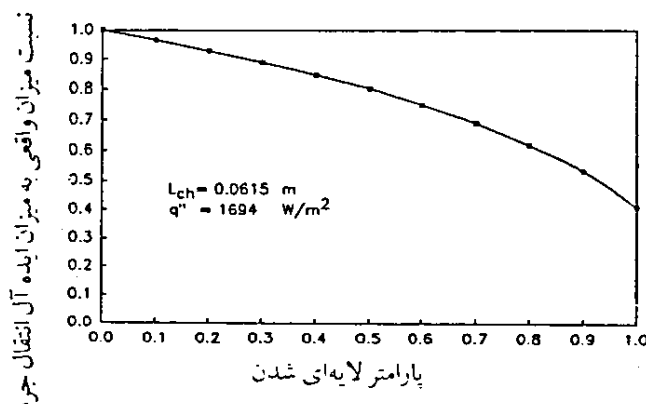
۴- تغییرات چگالی سیال نسبت به دمایه به صورت خطی در نظر گرفته شده است (تقریب Bossinesq). از تغییر سایر خواص سیال نسبت به تغییر دما، صرف نظر شده است

۵- از افت فشارهای موضعی سیال در ورودی و خروجی کanal صرف نظر شده است

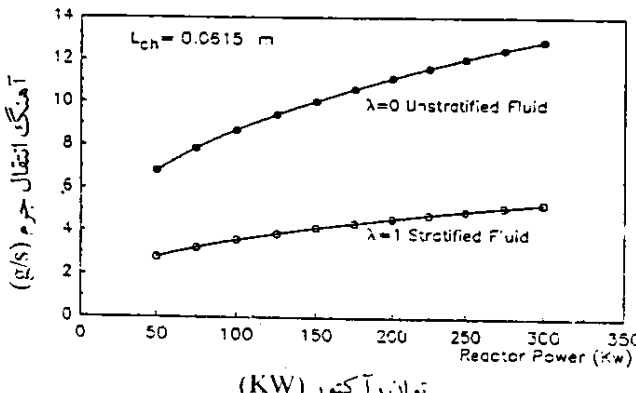
شود، به موازات افزایش آن، بین مراکز حرارتی سیال داخلی کanal و سیال محیط اختلاف سطح تراز ایجاد می‌شود که نیروی شناوری را به وجود می‌آورد. این نیرو باعث حرکت سیال با میزان انتقال جرم فرایندی می‌شود برای توجیه این موضوع اگر در معادله (۲۳) تنها عاملهای مؤثر L و L_{ch} و \dot{m} را نگهداشیم، در شرایطی که A برابر یک است این معادله در تقریب اول به صورت زیر در می‌آید:

$$\dot{m}^{1.8} = A \frac{L_{ch}}{L+L_{ch}} \left(1 - C \frac{L_{ch}}{L+L_{ch}} \right) \quad (24)$$

که در آن A و C مقادیر ثابت هستند. ملاحظه می‌شود که وقتی L_{ch} کوچک باشد داخل پرانتز به «یک» نزدیک است، یعنی در حدود مقادیر کوچک L_{ch} ، میزان انتقال جرم رشد بیشتری دارد (و در نتیجه شب منحنی در آن نواحی زیاد است). اما هنگامی که L_{ch} دارای مقادیر بزرگتر می‌شود داخل پرانتز کوچک می‌گردد و در نتیجه منحنی رشد انتقال جرم شبیه کمتری پیدا می‌کند (شکل ۳).



شکل ۱. اثر لايهای شدن بر نسبت انتقال جرم



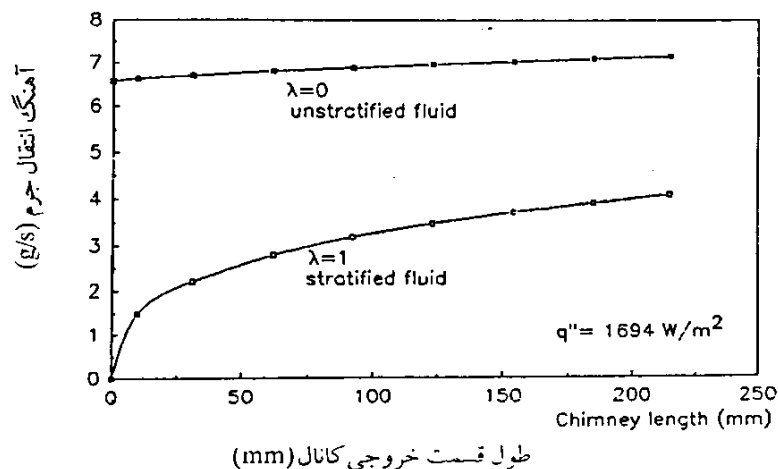
شکل ۲. اثر توان رآکتور بر سرعت انتقال جرم

کمتر است. ایجاد این لايهایها باعث کندی انتقال حرارت و کاهش میزان انتقال سیال می‌شود، بدسان که با افزایش پارامتر لايهای شدن، آهنگ انتقال جرم به طور غیر خطی کاهش می‌یابد. در شرایطی که سیال کاملاً لايهای شده باشد میزان انتقال جرم کم می‌شود ولی صفر نخواهد شد.

نمودار شکل (۱) چگونگی تغییرات نسبت میزان واقعی به میزان ایده‌آل انتقال جرم سیال را بر حسب پارامتر لايهای شدن نشان می‌دهد. به طوری که ملاحظه می‌شود، در حالتی که لايهای شدن کامل شده باشد این نسبت در حد ۴۱ درصد است.

نمودار شکل (۲) تاثیر افزایش توان رآکتور را بر انتقال جرم سیال در داخل کanal عمودی گرم نشان می‌دهد. ملاحظه می‌شود که در هر دو حالت مخزن غیر لايهای و لايهای با افزایش توان، میزان انتقال جرم سیال افزایش می‌یابد اما نرخ افزایش در مخزن غیر لايهای بیشتر است زیرا، حرارت در این حالت به سرعت متقل می‌شود و اختلاف دمای زیادی که به وجود می‌آید امکان گردش طبیعی بیشتری برای سیال فراهم می‌آورد. اماده حالت لايهای شدن کامل ($\lambda=1$)، نه آهنگ انتقال جرم به مقدار قابل ملاحظهای کم می‌شود بلکه نرخ افزایش آن در برابر افزایش قدرت نیز کمتر است. مطالعات و تحقیقات انجام شده در رآکتور مشابه رآکتور تحقیقاتی تهران، در آرژاتین و در شرایط حرکت سیال با همرفت طبیعی نشان می‌دهد که این رآکتور می‌تواند تا حدود توان ۳۰۰ کیلووات با حفظ حاشیه ایمنی کار کند [۷]. لذا محدوده تغییرات توان در نمودار شکل (۲) تا حد ۳۰۰ کیلووات در نظر گرفته شده است.

شکل (۳) به وضوح اثر طول خروجی کanal را بر انتقال جرم نشان می‌دهد. وقتی که مخزن در شرایط غیر لايهای است و حرارت خود را بی درنگ به محیط یا به مبدل حرارتی منتقل می‌کند، سرعت انتقال جرم سیال زیاد است و حتی وقتی خروجی کanal وجود ندارد باز هم انتقال جرم وجود دارد. اما در شرایط کاملاً لايهای شده ($\lambda=1$)، اگر طول قسمت خروجی کanal صفر باشد، جریان همرفتی وجود ندارد ($\dot{m}=0$) زیرا مرکز حرارتی قلب رآکتور با مرکز حرارتی سیال محیط در یک سطح تراز قرار می‌گیرند. اما اگر طول اضافی برای قسمت خروجی کanal منظور



شکل ۳. اثر طول قسمت خروجی کانال بر انتقال جرم

- Y.Zvirin, P.R.Jeuck, C.W.Sullivanard, R.B.Duffey, Experimental and Analytical Investigation of a Natural Circulation System with parallel Loops, 1981.
- M.Ishii, I.Kataoka, Scaling Laws for Thermal - Hydraulic System Under Single Phase and Two -Phase Natural Circulation, Nuclear Engineering and Design, Vol 81, 411-425, 1984.
- A.Bejan, Convection heat transfer, Wiley, 1984.
- N.Todreas, M. Kazimi; Nuclear systems: Vol. II, 1990.
- Y. Zvirin, A. Shitzer, and G. Grossman, The natural circulation solar heat models with linear & non - linear temperature distribution. Int, J. Heat Mass Transfer, 20, 1977.
- "Safety Analysis Report", Tehran nuclear center, Research Reactor, Tehran, IRAN, 1966.
- "Safety Analysis Report", Nuclear research center, Atomic Energy Organization of Iran, July 1997.
- صد م خاکشور نیا- ابوالقاسم زارع شحنه: بررسی جریان سیال با جابجایی طبیعی در کانال عمودی گرم، بخش مهندسی رآکتور، سازمان انرژی اتمی ایران، دی ۱۳۷۵.

Effect of thermal stratification of coolant in a vertical heated channel

Khakshoornia S. , Zare Shahneh A.

Atomic Energy organization of Iran, 1998

Abstract

In a vessel type low power research reactor with vertical fuel plates, if circulating pump is swiched off , the coolant should flow by natural circulation. By using Conservation equations and considering some assumptions, coolant mass flow rate through the channel can be obtained. In a closed (volume limited) and isolated vessel, gradually, thermal stratification effect is occured, therefore mass flow rate through the channel decreases. This study shows that by assuming of linear thermal stratification, mass flow rate versus stratification parameter behaves non - linear and decreases down to 41%.